

познавания образов // Известия Тульского государственного университета. Технические науки №10 2013 г.

3 Преобразование Хафа [Электронный ресурс] / Википедия. – Режим доступа: https://ru.wikipedia.org/wiki/Преобразование_Хафа. – Дата доступа: 15.09.2015.

4 Р. Гонсалес. Цифровая обработка изображений / Р. Гонсалес, Р. Вудс 2012г.

УДК 611.53

С.Г. Тихомиров, проф., д-р техн. наук
Ю.В. Пятаков, доц., канд. физ.-мат. наук
О.В. Карманова, проф., д-р техн. наук
В.И. Молчанов, доц., канд. хим. наук
А. А. Маслов, асп.
(ВГУИТ, г. Воронеж)

МОДЕЛИРОВАНИЕ ТЕПЛООВОГО ПОЛЯ ПНЕВМАТИЧЕСКОЙ ШИНЫ В ПРОЦЕССЕ ВУЛКАНИЗАЦИИ

Моделирование процессов вулканизации связано необходимостью расчета температурных полей в многоэлементных изделиях сложной конфигурации, теплофизические характеристики которых зависят от температуры [1,2]. Решение этой задачи позволяет моделировать процессы вулканизации изделий с целью неразрушающего контроля их качества, рассчитывать продолжительность процессов в широком диапазоне температур и оптимумов вулканизации с учетом теплофизических свойств и геометрических параметров объектов [2,3].

Постановка задачи. В качестве математической модели процесса рассмотрим систему уравнений теплового баланса вида:

$$C_k(T(t, \mathbf{x})) \partial T(t, \mathbf{x}) / \partial t = \nabla [\lambda_k(T(t, \mathbf{x})) \nabla T(t, \mathbf{x})] + q_k(t, \mathbf{x}), \mathbf{x} \in V_k, k=1, 2, \dots, K; \quad (1)$$

где $C_k(T(t, \mathbf{x}))$, $\lambda_k(T(t, \mathbf{x}))$ соответственно объемная теплоемкость и теплопроводность k -го слоя шины; $T(t, \mathbf{x})$, $q_k(t, \mathbf{x})$ – температура и плотность тепловыделения в точке \mathbf{x} k -го слоя в момент времени t : $q_k(t, \mathbf{x}) = q_k^{сум} \cdot \partial X(t, \mathbf{x}) / \partial t$, $q_k^{сум}$ – суммарное количество тепла, выделяемое в k -м слое; $X(t)$ – степень завершенности процесса вулканизации [4,5].

Систему уравнений (1) дополним начальными:

$$T(0, \mathbf{x}) = T_0, \quad (2)$$

граничными:

$$T(t, \mathbf{x}) = \varphi_i(t, \mathbf{x}), \mathbf{x} \in S_i, i=1, 2; \quad (3)$$

и контактными условиями:

$$\lim_{\mathbf{x}' \rightarrow \mathbf{x}} T(t, \mathbf{x}') = \lim_{\mathbf{x}'' \rightarrow \mathbf{x}} T(t, \mathbf{x}''), \quad \lim_{\mathbf{x}' \rightarrow \mathbf{x}} \lambda_m(T(t, \mathbf{x}')) \partial T(t, \mathbf{x}') / \partial \mathbf{n} = \lim_{\mathbf{x}'' \rightarrow \mathbf{x}} \lambda_p(T(t, \mathbf{x}'')) \partial T(t, \mathbf{x}'') / \partial \mathbf{n}. \quad (4)$$

В (2)-(4) T_0 – начальная температура; S_1 и S_2 – поверхности контакта шины с пресс-формой и диафрагмой, соответственно; $\mathbf{x}' \in V_m$, $\mathbf{x}'' \in V_p$, $\mathbf{x} \in S_{m,p}$; $S_{m,p}$ – поверхность контакта смежных слоёв V_m и V_p , \mathbf{n} – вектор нормали к $S_{m,p}$.

Степень завершенности процесса вулканизации $X(t)$ в точке \mathbf{x} k -го слоя в момент времени t будем оценивать по формулам:

$$X(t) = 0, \text{ при } t < t_{\text{инд.}}; X(t) = (M(t_s) - M_0) / (M_{\text{max}} - M_0), \text{ при } t \geq t_{\text{инд.}}, \quad (5)$$

где $M(t)$, M_0 , M_{max} – текущее, минимальное и максимальное значения динамического модуля M , определяемые по данным контрольных испытаний образцов смеси при изотермическом режиме вулканизации [1]; $t_s = t_s(t)$ – эквивалентное время вулканизации, $t_{\text{инд.}}$ – индукционный период вулканизации, определяемые по формулам:

$$t_s(t) = \int_0^t \exp(E_k R^{-1} ((T_1 + 27315)^{-1} - (T(\tau) + 27315)^{-1})) d\tau; t_{\text{инд.}} = \int_0^{t_{\text{инд.}}} \tau_0 \exp(E_{\text{инд.}} / R / (T(\tau) + 27315)) d\tau,$$

где E_k – энергия активации процесса вулканизации k -го слоя; R – универсальная газовая постоянная; $T(\tau)$ – текущее значение температуры в точке \mathbf{x} в момент времени τ , τ_0 – константа, $E_{\text{инд.}}$ – энергия активации индукционного периода (с достаточной точностью может быть принято $E_k \approx E_{\text{инд.}}$).

Константу τ_0 и значение $E_{\text{инд.}}$ определим по формулам:

$$E_{\text{инд.}} = R(T_2 + 27315)(T_1 + 27315) / (T_1 - T_2) \ln t_{\text{инд.}}'' / t_{\text{инд.}}', \quad \tau_0 = t_{\text{инд.}}' \exp(-E_{\text{инд.}} / R / (T_1 + 27315)),$$

где $t_{\text{инд.}}'$ – индукционный период вулканизации при температуре T_1 ; $t_{\text{инд.}}''$ – индукционный период вулканизации при температуре T_2 .

Решение системы уравнений (1)-(5). Введем в рассмотрение функции $S_k(T)$, $\Lambda_k(T)$, определенные следующим образом:

$$S_k(T) = \int_{T_0}^T C_k(\tau) d\tau, \quad \Lambda_k(T) = \int_{T_0}^T \lambda_k(\tau) d\tau. \quad (6)$$

Тогда система уравнений теплопроводности (1) примет вид:

$$\partial S_k(t, \mathbf{x}) / \partial t = \Delta \Lambda_k(t, \mathbf{x}) + q_k(t, \mathbf{x}), \quad \mathbf{x} \in V_k, \quad \Lambda_k(t, \mathbf{x}) = \Lambda_k(T(t, \mathbf{x})) \quad (7)$$

Начальное условие (2) примет вид:

$$S_k(0, \mathbf{x}) = \Lambda_k(0, \mathbf{x}) = 0; \quad k=1, 2, \dots, K. \quad (8)$$

Граничные условия (3) примут вид:

$$S(t, \mathbf{x}) = S^{(i)}(t, \mathbf{x}), \quad \Lambda(t, \mathbf{x}) = \Lambda^{(i)}(t, \mathbf{x}); \quad \mathbf{x} \in S_i, \quad i=1, 2; \quad (9)$$

где $S^{(1)}(t, \mathbf{x}) = S_m(\varphi_1(t, \mathbf{x}))$, $\Lambda^{(1)}(t, \mathbf{x}) = \Lambda_m(\varphi_1(t, \mathbf{x}))$, m – номер слоя, граница которого в точке \mathbf{x} совпадает с S_1 ; $S^{(2)}(t, \mathbf{x}) = S_n(\varphi_2(t, \mathbf{x}))$, $\Lambda^{(2)}(t, \mathbf{x}) = \Lambda_n(\varphi_2(t, \mathbf{x}))$, n – номер слоя, граница которого в точке \mathbf{x} совпадает с S_2 .

Контактные условия (4) примут вид:

$$S_m^1(t, \mathbf{x}) \Big|_{\mathbf{x} \in S_{m,p}} = S_p^1(t, \mathbf{x}) \Big|_{\mathbf{x} \in S_{m,p}} ; \Lambda_m^1(t, \mathbf{x}) \Big|_{\mathbf{x} \in S_{m,p}} = \Lambda_p^1(t, \mathbf{x}) \Big|_{\mathbf{x} \in S_{m,p}} ; \partial \Lambda_m(t, \mathbf{x}) / \partial n \Big|_{\mathbf{x} \in S_{m,p}} = \partial \Lambda_p(t, \mathbf{x}) / \partial n \Big|_{\mathbf{x} \in S_{m,p}} . \quad (10)$$

Далее будем полагать, что шина имеет осесимметрическую форму. В этом случае уравнение (7) удобно записать в цилиндрической системе координат Ox_1x_2 , ось Ox_1 которой совпадает осью симметрии шины:

$$\partial S_k(t, \mathbf{x}) / \partial t = \partial^2 \Lambda_k(t, \mathbf{x}) / \partial x_1^2 + \partial^2 \Lambda_k(t, \mathbf{x}) / \partial x_2^2 + \partial \Lambda_k(t, \mathbf{x}) / \partial x_2 / x_2 + q_k(t, \mathbf{x}), \quad \mathbf{x} \in V_k, \quad \mathbf{x} = (x_1, x_2). \quad (11)$$

Численное решение системы уравнений (8)-(11) будем осуществлять методом конечно-разностной аппроксимации дифференциальных операторов в (11) на системе точек $\{t^{(m)}, \mathbf{x}_{j,i}\}$, где $t^{(m)} = t^{(m-1)} + \Delta t$; $t^{(0)} = 0$; $m = 1, 2, \dots, M_t$, Δt - шаг дискретизации по времени; $i = 1, 2, \dots, N$; $j = 1, 2, \dots, K_i$. Точки $\mathbf{x}_{1,i}, \mathbf{x}_{2,i}, \dots, \mathbf{x}_{K_i,i}$; $i = 1, 2, \dots, N$ расположены на отрезках $[\mathbf{x}_{1,i}, \mathbf{x}_{K_i,i}]$, $\mathbf{x}_{1,i} \in S_1$, $\mathbf{x}_{K_i,i} \in S_2$. Способ аппроксимации операторов (11) описан в работе [1].

Пусть $\Omega(t^{(m)}, \mathbf{x}_{j,i})$ - вычисленное значение дифференциального оператора в правой части (11) в точке $\{t^{(m)}, \mathbf{x}_{j,i}\}$. Тогда, при $\Delta t \leq C_{\min} \Delta^2 / (\lambda_{\max})$, на основе явной разностной схемы решения уравнения (11), имеет место соотношение:

$$S_k(t^{(m+1)}, \mathbf{x}_{j,i}) = S_k(t^{(m)}, \mathbf{x}_{j,i}) + \Delta t \cdot \Omega(t^{(m)}, \mathbf{x}_{j,i}), \quad \mathbf{x}_{j,i} \in V_k,$$

где Δ - минимальное расстояние между точками $\mathbf{x}_{j,i}$; C_{\min} , λ_{\max} - минимальное и максимальное значения теплоемкости и теплопроводности слоев шины. Учитывая, что $S_k(T)$ и $\Lambda_k(T)$ в (6) являются непрерывными и монотонными функциями аргумента T , значение температуры в точке $\mathbf{x}_{j,i}$ в момент времени $t^{(m+1)}$ можно определить по формуле:

$$T_k(t^{(m+1)}, \mathbf{x}_{j,i}) = S_k^{-1}(t^{(m+1)}, \mathbf{x}_{j,i}), \quad \mathbf{x}_{j,i} \in V_k,$$

где S_k^{-1} - функция, обратная S_k .

Пример расчета. В примере выполнен расчет температурного поля для шины, имеющей наружный диаметр – 1,078 м, посадочный диаметр – 0,6096 м. Теплоемкость и теплопроводность слоев определялась соотношениями: $C_k(T) = c_k \rho_k$, $\lambda_k(T) = a_k - b_k \cdot T$. Значения параметров c_k, ρ_k, a_k, b_k приведены в таблице.

Таблица - Теплофизические параметры компонентов шины

№	Наименование компонента	ρ_k , кг/м ³	c_k , Дж/(кг·град)	a_k , Вт/(м·град д)	b_k , Вт/(м·град ·с)
1	Протектор	1162	717	0,2158	0,0002
2	Боковина	1154	663	0,30336	0,0004
3	Брекер	1126	641	0,26124	0,0003
4	Каркас	1121	615	0,2548	0,0003
5	Борт	3960	560	17,2	0,0001
6	Наполнительный шнур	1218	664	0,3426	0,0006

Расчет осуществлялся при заданных начальных: $T_0=25$ °С и граничных:

$$\varphi_1(t, x) = \varphi_2(t, x) = \begin{cases} 150 \text{ °С,} & \text{при } 0 \leq t \leq 2700 \text{ с,} \\ 25 \text{ °С,} & \text{при } t > 2700 \text{ с} \end{cases}$$

условиях.

На рисунке приведено распределение температуры и степень завершенности процесса $X(t)$ в момент времени $t = 3000$ с.

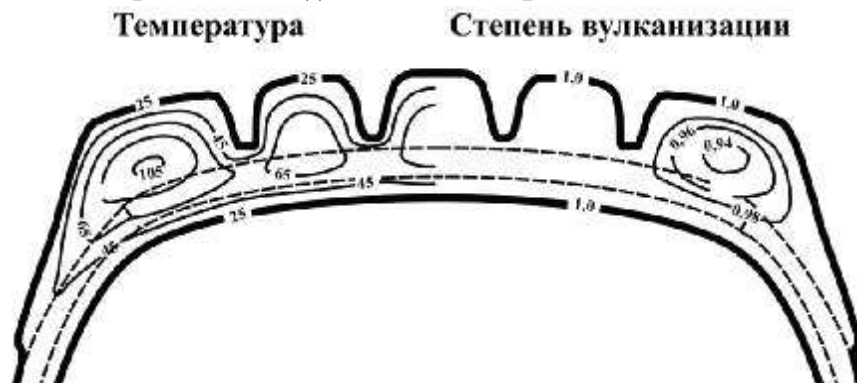


Рисунок – Распределение температуры и степени завершенности процесса вулканизации в момент времени $t = 3000$ с

ЛИТЕРАТУРА

1. Тихомиров, С. Г. Численный алгоритм расчета температурных полей пневматических шин в процессе вулканизации [Текст] / С.Г. Тихомиров, Ю.В. Пятаков, О.В. Карманова, В.И. Молчанов // Вестник ВГУИТ. – 2015. - № 2. С. 158-164.

2. Карманова, О. В. Моделирование кинетики неизометрической вулканизации массивных резиновых изделий [Текст] / О. В. Карманова, С. Г. Тихомиров, Ю.В. Пятаков, А. В. Касперович В. И. Молчанов // Труды БГТУ. – 2014. – № 4. – С. 100–104.

3. Лукомская, А. И. Расчеты и прогнозирование режимов вулканизации резиновых изделий [Текст] / А. И. Лукомская, П. Ф. Баденков, Л. М. Кеперша, – М.: Изд-во Химия, 1978. – 280 с.

4. Ищенко, В. А. Особенности расчетов режимов вулканизации пневматических шин с учетом трехмерности конструкции [Текст] / В. А. Ищенко, М. В. Шаптала // Системные технологии: региональный межвуз. сб. науч. трудов. – Днепропетровск, – 2008. – Вып. 2 (55). – С. 147 – 158.

5. Власко А. В. Влияние неизотермической вулканизации и механические свойства резиновых и резинокордных образцов [Текст] / А. В. Власко, М. Э. Сахаров, З. Порицкая // Каучук и резина – 1991. – № 6. С. 6-8.